

الخصائص الهيدروليكيّة لنهر دجلة في مدينة الموصل
خليل ابراهيم عثمان ابراهيم عادل الحافظ تحسين علي جلميران
مركز بحوث السدود والموارد المائية - جامعة الموصل

الملخص

تم في هذا البحث دراسة الخصائص الهيدروليكيّة لقطع طولي من نهر دجلة في مدينة الموصل بطول 21 كم وبواقع 77 مقطع عرضي. المقاطع العرضية تم مسحها وتحديد منسوب سطح الماء عندها بهدف ايجاد الخصائص الهيدروليكيّة عند كل مقطع. ان النهر ضمن منطقة الدراسة يتحوي على ثلاثة اجزاء مختلفة جزء منحني وجزء متفرع وجزء مستقيم. بينت نتائج الدراسة ان معدل انحدار سطح الماء لنهر دجلة في منطقة الدراسة كانت تساوي 4.7×10^{-4} وان النهر ذا خصائص هيدروليكيّة منتظمّة على طول الجزء المستقيم من النهر ولكن في الاجزاء التي تحتوي على انحناءات وجزرات فان هذه الخصائص لا تبقى منتظمّة. ان مقطع النهر بشكل عام عريض رغم انحسار الماء الى مجرى ضيق بسبب نقصان التصاريف حيث تراوحت قيم D/T لمجرى النهر ما بين 50-1500 وان اعمق منطقة (مستمرة) تمت من مقدم جسر نينوى الى مؤخر جسر الحرية وعلى جهة الضفة اليمنى . النتائج المستحصلة من تطبيق النموذج الرياضي HEC-RAS بينت الى امكانية النموذج في تمثيل حقل الجريان وبشكل كفؤ و التعرف على خصائص النهر عند مواقع مختلفة وتحت ظروف جريان متعددة. النتائج المستحصلة من النموذج الرياضي تم استخدامها في ايجاد علاقات وضعيّة تربط بين المتغيرات معدل السرعة، معدل العمق ، مساحة الجريان، عرض ومنسوب سطح الماء والتصريف مع المنسوب ولعدة مقاطع على طول مجرى النهر.

الكلمات الدالة : نهر دجلة، مدينة الموصل، الخصائص الهيدروليكيّة، النموذج الرياضي HEC-RAS

The Hydraulic Characteristics of Tigris River at Mosul City
Kh. I. Othman I. A.I. Al-Hafith T. A. Chilmiran
Dams and Water Resource Research Center

Abstract

In this research the hydraulic characteristic of seventy seven cross sections along 21 km of Tigris River at Mosul city were studied. These cross sections were surveyed and their bed and water surface elevations were measured.

The river at the studied reach have a different morphology and includes three different shapes (meander part braided part and straight part). The results of the study showed that the river at study reach has an average water surface slope equal of 4.7×10^{-4} . The straight part of the river reach has uniform and regular hydraulic characteristic compared to other river parts. The river have wide cross sections, the values of T/D varies between 50-1500 and due to reduction in discharge there was a great reduction in flow depth and the river was receded and river reach was narrowed than before . The deepest part was extended beside the right bank from upstream of Ninevah Bridge to downstream of Al-Horriya Bridge. Application of HEC-RAS Model showed that the model can simulate the hydraulic characteristics of river under different flow

condition. Data obtained from the model was used to find empirical relations between (average velocity, average depth, cross section area, Top width and discharge with the stage).

Key Words: Tigris River, Mosul City, Hydraulic Characteristics, HEC-RAS Model.

قبل: ٩ - ١٠

أسلم: ٣ - ١١ - ٢٠١٠
٢٠١١

المقدمة :

تعد الانهار من اهم المصادر المائية حيث ان اغلب التجمعات السكانية والأنشطة الزراعية وبعض الانشطة الصناعية تكون بالقرب من مجرى الانهار لكونها مصدر رئيسي للماء الصالح لذا يولي الباحثون اهمية كبيرة لدراسة الانهار من جميع النواحي الهيدروليكية والهيدرولوجية والمورفولوجية والجيولوجية. ان دراسة صفات وسلوك الانهار صعبة ومعقدة ومكلفة تعدد المتغيرات المؤثرة على النهر وتغيرها مع الزمن بسبب طبيعة مجرى الرسوبى الذى يجعله عرضة لتغيرات مورفولوجية وهيدروليكية تؤثر وبشكل كبير على خصائص النهر المختلفة. ان الدراسات التى تم اجرائها حول خصائص وصفات الانهار كثيرة [١][٢][٣][٤][٥]

علقة بدراسة الصفات الهيدروليكية والمورفولوجية الخاصة بنهر دجلة 1978

(Hamza [٧]) بدراسة الصفات الهيدروليكية والمورفولوجية لخمس محطات لقياس التصاريف على نهر دجلة (حمام العليل) ووجد علاقة وضعية تربط بين المتغيرات (عرض سطح الماء معدل العمق) مساحة مقطع الجريان مع التصريف لكل الباحث نجيب (Najib) [٨] قام بدراسة الصفات الهيدروليكية والمورفولوجية لنهر دجلة في محافظة نينوى وبطول 88 كم حيث درس خصائص النهر لـ 21 مقطع عرضي موزع على طول النهر مقاطع مختلفة النمط مقطع مستقيم (Braided Pattern)

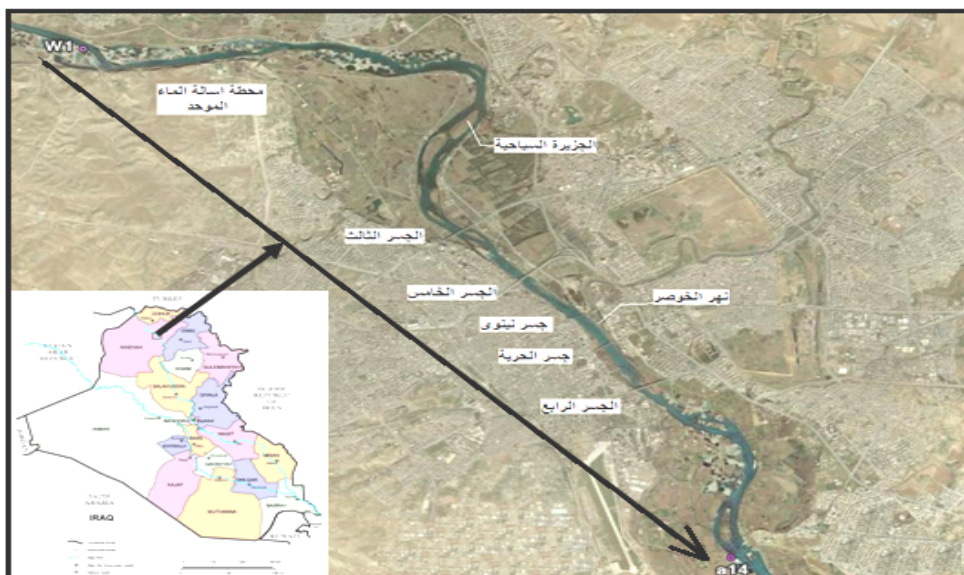
(Meandering Pattern) حيث قام بإيجاد علاقات وضعية تربط بين سرعة الجريان مع التصريف لأنماط الثلاثة. في سنة 1986 قام الباحث مصعب (Mushib) [٩] بدراسة الصفات الهيدروليكية والمورفولوجية وصفات الرسوبيات لنهر دجلة بين الفتحة ومدينة تكريت بطول 60 كم حيث قام بتحديد 14 منطقة يساوي 5.45×10^{-4} كذاك وجد الباحث علاقات وضعية تربط المتغيرات

(مساحة الجريان والمحيط المبتدل) مع التصريف. الباحثة حياوي (Hayawi) [١٠] قامت بإنشاء نموذج هيدروليكي لطول محدد من نهر دجلة 2 كم يمتد من شمال جسر نينوى إلى جنوب جسر الحرية بهدف تثبيت وتهذيب مجرى النهر لهذا الجزء بواسطة السنون الصخرية. خلال التجارب على النموذج توصلت الباحثة إلى مجموعة من العلاقات الوضعية بين المتغيرات الهيدروليكية للمقاطع المختلفة مع التصريف كما بينت إلى إمكانية تهذيب مجرى النهر بواسطة استخدام السنون الصخرية. [١١] قاما بدراسة الخصائص الهيدروليكية والمورفولوجية لنهر دجلة عند محطة الموصل بعد تشغيل سد الموصل حيث وجد مجموعة من العلاقات الوضعية التي تربط بين المتغيرات الهيدروليكية مع التصريف لمقطع محطة قياس التصريف في مدينة الموصل.

في هذا البحث تم دراسة الخصائص الهيدروليكيّة لنهر دجلة في مدينة الموصل ، التغيرات الحاصلة في هذه الخصائص نتيجة تنظيم جريان النهر بواسطة سد لفترة يقارب 25 واقامة ترکيا العديد من المنشآت الاروائية عند منابع النهر وتأثير ذلك من حيث النقصان والتنظيم الحاصل في تصارييف النهر على مختلف الخصائص الهيدروليكيّة والمورفولوجية لنهر من شكل واتجاه وأعمق الجريان في مختلف مقاطع النهر. لذا تم اختيار جزء من نهر دجلة بطول 21 77 من شمال مدينة الموصل إلى جنوب المدينة لدراسة كافة خصائص النهر الهيدروليكيّة وتقييمها مع اعطاء صورة واضحة عن صفات النهر في ظل ظروف الجريان الحاليّة ووضع مقطع النهر

منطقة الدراسة:

تمتد منطقة الدراسة من شمال مدينة الموصل مقدم مأخذ محطة اسالة الماء الموحد إلى نهاية المدينة وبطول 21 1 بعد استطلاع منطقة الدراسة تم تحديد 77 مقطع عرضي على طول مجرى النهر عي اثناء اختيار المقاطع ان تكون ممثلاً لنهر في منطقة الدراسة باشكاله المختلفة (الجزء المستقيم المنحني) وبشكل جيد. كانت المسافة بين مقطع واخر غير متساوية حسب طبيعة شكل النهر تراوحت المسافة ما بين مقطع واخر من 71 م ولحد 606 2 يوضح العرضية التي تم اختيارها النهر. بدا العمل الحقلّي بتثبيت علامات دالة (على ضفتي النهر وعلى الجزرات مع تثبيت منسوب الضفة عند كل مقطع بالاعتماد على رقم التسوية الموجود عند محطة قياس التصارييف في المدينة. زأين رئيسين) الجزء النهري المتضمن مجرى النهر حيث تم قياس منسوب سطح ماء النهر فوق منسوب سطح البحر عند كل مقطع وقياس عرض المقطع النهري مع مسح قعر النهر باستخدام جهاز قياس سطح البحر عند كل مقطع (Echo Sounder-depth meter) .الجزء الثاني من أعمال المسح الحقلّي تض المسح الأرضي لضفاف النهر من الجهتين إضافة إلى مسح الجزرات الموجودة على طول مجرى النهر. استغرقت اعمال المسح النهري ما يقارب 60 يوماً وكانت التصارييف المارة في النهر خلال هذه الفترة (- 2009) ثابتة نسبياً لكون التصريف المار بالنهر محدد بما يطلق من منافذ سد الموصل 60 كم شمال مدينة الموصل وحسب المعلومات المأخوذة من مديرية الموارد المائية في مدينة الموصل كان التصريف المار بالنهر بحدود 214.7 / 425 البحر عند محطة قياس الموصل .



1 : مجرى النهر ضمن منطقة الدراسة



2 : 77 التي تم مسحها على طول مجرى النهر

تحليل البيانات:

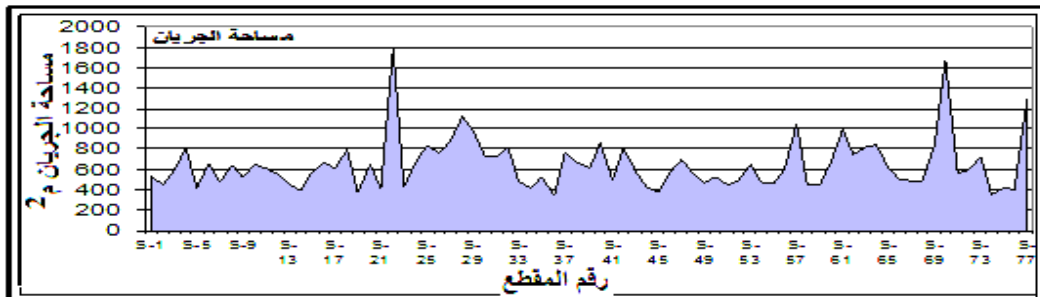
بعد الانتهاء من العمل الحقلـي تم تسقيط جميع البيانات المسـتـ 77 (الشكل 2) لغرض رسم شـكل النـهـر وضـافـه مع رـسـم المقـاطـع النـهـريـة. ان النـهـر ضـمن منـطـقـة الـدـرـاسـة يـحـتـوي عـلـى جـزـء منـحـنـي فـي الـبـادـيـة والنـهـاـيـة مع جـزـء مـسـتـقـيم بـيـنـهـما اـضـافـة إـلـى العـدـيد من المـخـتـفـيـة الـاحـجـام والـاشـكـال الـمـنـتـشـرـة عـلـى طـوـل مـقـطـع النـهـر . الـبـيـانـات الـتـي جـمـعـت تم استـخـداـمـها في اـيجـاد قـيم مـسـاحـة مـقـطـع الجـريـان (A) والمـحيـط المـبـتـل (P) وعـرـض سـطـح المـاء (T) (D) الجـريـان(V) 77 كذلك تم اـيجـاد اـنـدـار سـطـح المـاء هذه الـمـعـلـومـات تم تـحـلـيلـها لـاعـطـاء صـورـة عـن خـواـص نـهـر دـجـلـة ضـمن منـطـقـة الـدـرـاسـة كما استـخـداـمـت هـذـه الـبـيـانـات ايـضاـ في تمـثـيل حـقـلـ الجـريـان لـنـهـر ضـمن منـطـقـة الـدـرـاسـة بـتـطـيـقـ النـمـوذـج الـرـياـضـي HEC-RAS لـاجـل مـعـرـفـة خـصـائـص النـهـر تحت ظـرـوف جـريـان متـعدـدة.

الـصـفـات الـهـيـدـرـوـلـيـكـية لـنـهـر:

1. مـسـاحـة مـقـطـع الجـريـان:

قيم مـسـاحـة مـقـطـع الجـريـان الـتـي تم حـسـابـها رـسـمـت عـلـى طـوـل مـجـرـى النـهـر ضـمن منـطـقـة الـدـرـاسـة 3 حيث يـلـاحـظـ من هـذـا الشـكـل التـغـيـر الواـضـح فـي مـسـاحـة الجـريـان عـلـى طـوـل المـجـرـى حيث حيث تـراـوـحـت قـيم مـسـاحـة الجـريـان اـثـنـاء فـتـرة الـعـمـل الحـقـلـي (التـصـرـيف 425 /) مـابـين مـسـاحـة جـريـان هـي عـنـدـ المـقـطـع S22 الـوـاقـعـ مـقـدـمـ الانـحـنـاءـ الاولـ لـنـهـر حيث 1800-1800

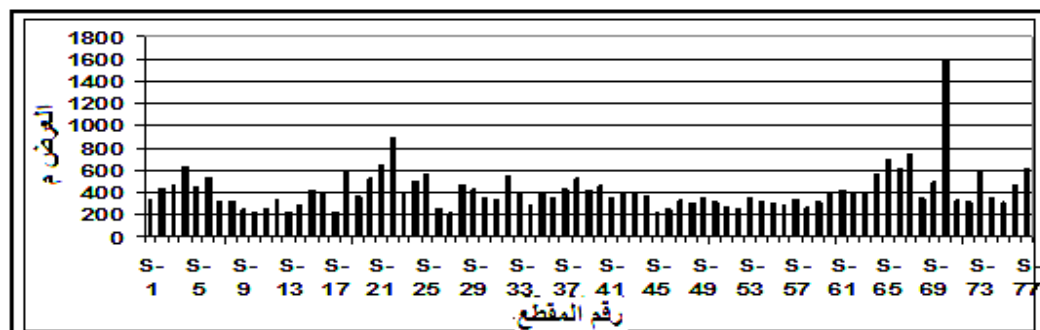
1800 مقدم الانحناء الثاني بحدود 1679 وهذا يعزى الى الاعاقة الحاصلة في الجريان نتيجة لوجود الانحناء في النهر والذي يعمل على اتساع في عرضجرى الانحناء ومؤديا الى نقصان في اعمق الجريان واتساعها وبعرض كبير مولدا مساحة اكبر. باقي اجزاء النهر وخاصة الاجزاء المستقيمة فإن التغيير في مساحة الجريان لم يكن كبيرا وكانت مساحة الجريان . 600



3 : مساحة الجريان على طول مجرى النهر

2. عرض سطح الماء:

من البيانات التي جمعت اثناء العمل الحقلى تم حساب قيم عرض سطح الماء ورسمها على طول 4 تراوح قيم عرض سطح الماء ما بين 208-1600 . عرض للنهر مقاس تحت التصريف المطلق خلال فترة العمل الحقلى هي قبل الانحناء الاول والثانى وكانت قيمه 1600 800 م على التوالي واكثر منطقة في النهر كان فيها عرض النهر منتظم وقليل هي المنطقة المحصوره بين المقاطعين S-52 S-47 . بين مقدم الجسر الخامس ومؤخر جسر نينوى أي ضمن منتصف الجزء المستقيم للنهر حيث تراوح معدل عرض سطح الماء ضمن هذه المنطقة . 300

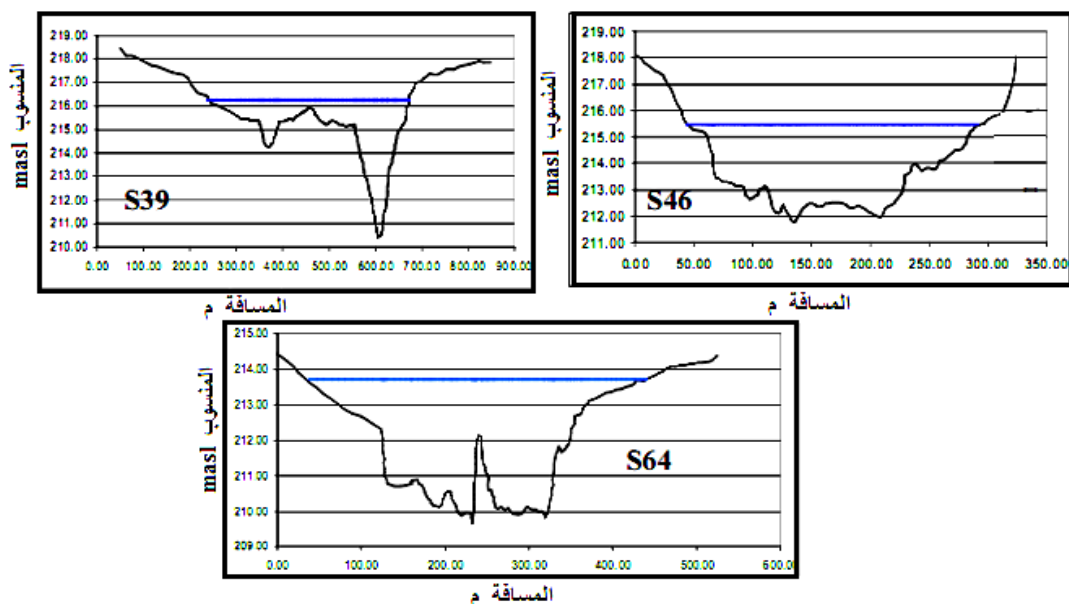


4 : عرض سطح الماء على طول مجرى النهر

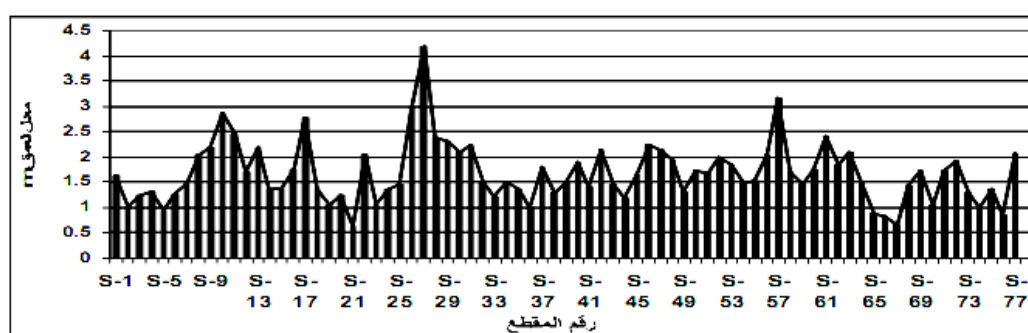
3. معدل العمق:

من بيانات المسح النهري لوحظ ان عمق الماء ضمن المقطع الواحد يتغير وبشكل غير منتظم ومفاجئ ضمن المقطع الواحد وهذا ما يثبت المقوله المتناولة بين صيادي الاسماك والاشخاص اللذين يعملون في النهر "ان النهر غير امن للسباحة لكون اعمقه تتغير بشكل مفاجئ" 5 يوضح اعمق المياه لثلاث مقاطع مختلفة S39 مقدم الجزيره السياحية بعد الانحناء الاول، وللمقطع S46 المستقيم للنهر ، وللمقطع S64 بداية الانحناء الثاني للنهر حيث وصل عمق الماء 5.85 3.55 4.05 . من بيانات مساحة الجريان وعرض سطح الماء تم معدل العمق والذي يساوي مساحة الجريان مقسوما على عرض سطح الماء وتم رسمها على طول

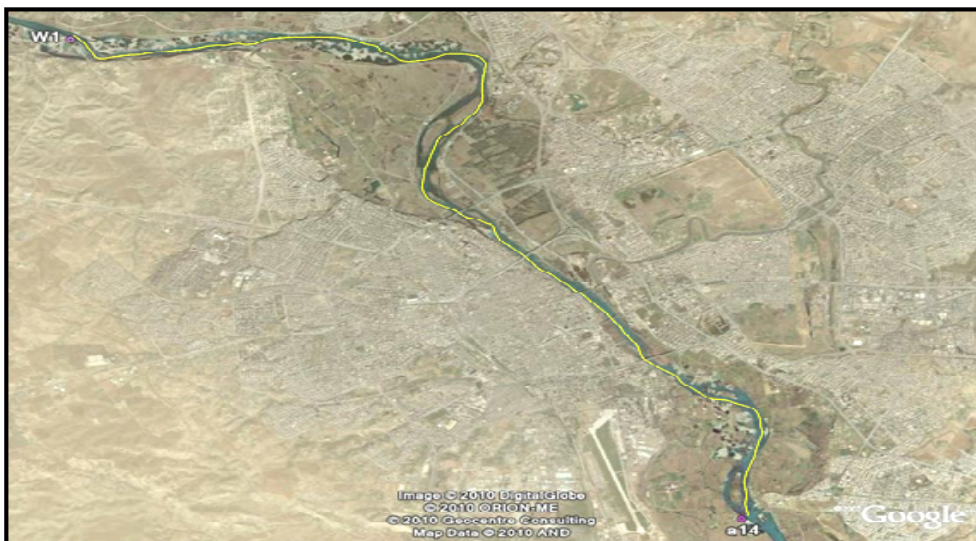
جري النهر وكما مبين في الشكل 6. من هذا الشكل يتبيّن أن معدل عمق الجريان على طول مجرى النهر يتراوح ما بين 0.64-4.19 . الشكل 6 يبيّن أيضاً التذبذب في معدل العمق في المناطق ذات المورفولوجية المتغيرة للنهر () اما بالنسبة لمقطع النهر المستقيم فيلاحظ ان قيمة العمق مستقرة نوعاً ما وبعمق يساوي 1.75 . من خلال البيانات التي جمعت لا عميق نقطة عند كل مقطع تمت المحاولة لرسم خط الثالوك لمقطع النهر ضمن منطقة الدراسة وكما مبين في الشكل 7 حيث يتبيّن من هذا الشكل ان خط الثالوك ليس خط مستقيم بل ينحرف الى حافة النهر والى منتصفه وحسب طوبوغرافية النهر حيث يكون قریب الضفة الخارجية عند الاجزاء المنحنيّة من النهر اما في جزء النهر الواقع ضمن مركز المدينة الجزء المستقيم فقد لوحظ ان خط الثالوك يكون اقرب الى الضفة اليمنى للنهر.



5 : مقطع النهر عند المقطع S39 S46 S64



6 : معدل عمق الجريان على طول مجرى النهر



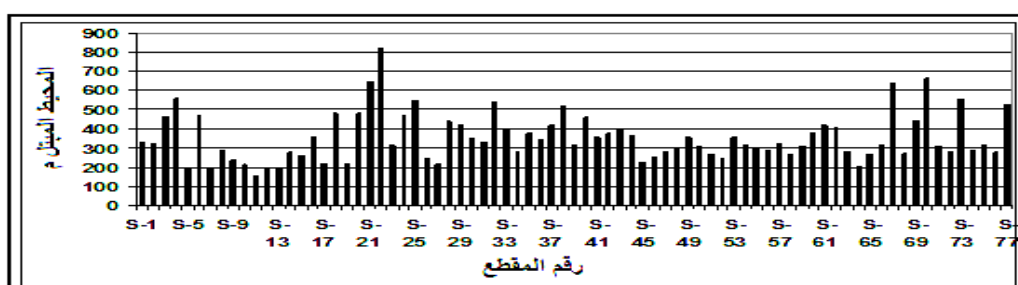
7 : يوضح خط الثالوك لمجرى النهر ضمن منطقة الدراسة

4. المحيط المبتل:

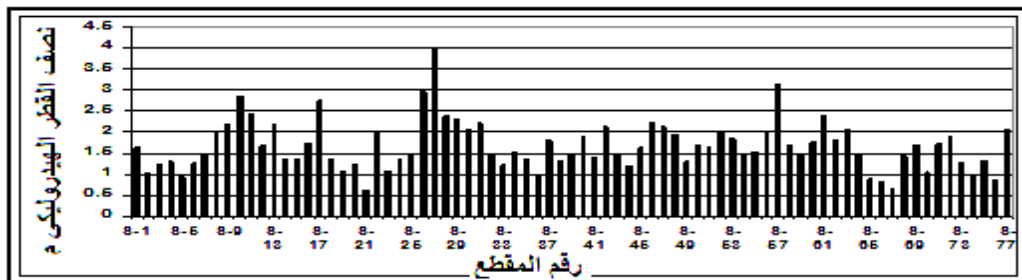
بعد احتساب قيم المحيط المبتل لكل مقطع ثم رسمها وعلى طول مجراه وكما موضح في 8 حيث تراوحت قيم المحيط المبتل ما بين 158-821 . 8 يبين ايضاً لجزء المستقيم من النهر هو من أكثر الأجزاء ذات المحيط المبتل المنتظم والسبب كذلك يعود لاستقامة هذا الجزء من مجراه النهر لكونه محصور داخل مركز المدينة بجرف حاد من الضفة اليمنى وبالسداد والطرق من الجهة اليسرى مما يمنع حصول تغير كبير في مورفولوجية هذه المنطقة يوثر على خصائص مقطع الجريان .

5. نصف القطر الهيدروليكي:

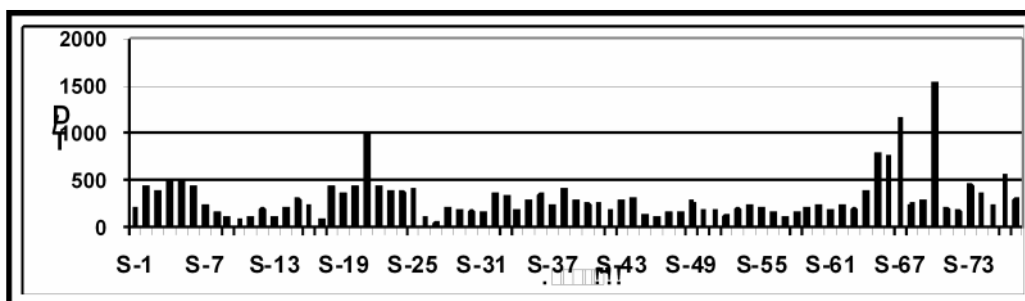
تم حساب قيم نصف القطر الهيدروليكي (R) لكل مقطع ورسمت هذه القيم على طول مجراه النهر وكما مبين في الشكل 9 قيم (R) المحسوبة للمقاطع ضمن منطقة الدراسة أثناء فترة العمل الحقلية ما بين 0.64-3.94 وبمقارنته هذه القيم مع قيم عمق الماء يلاحظ أنها متقاربة جداً وهذا يدل أن نهر دجلة يقع تحت "نهر عريض" اعتماداً على اعمقه ولتبين ذلك تم حساب قيم (T/D) لها على طول مجراه النهر لمنطقة الدراسة وكما موضح في الشكل 10 حيث تراوحت قيم (T/D) ما بين 50-1525 وهذا يثبت أن نهر دجلة ذو مقطع عريض وان قيم (T/D) اكبر بكثير . 10 يبين ايضاً حالة انتظام وثبوت قيم (T/D) للجزء المستقيم من النهر.



8 : حيطة المبتل للمقاطع وعلى طول مجراه النهر



9 : نصف القطر الهيدروليكي للمقاطع و على طول مجرى النهر



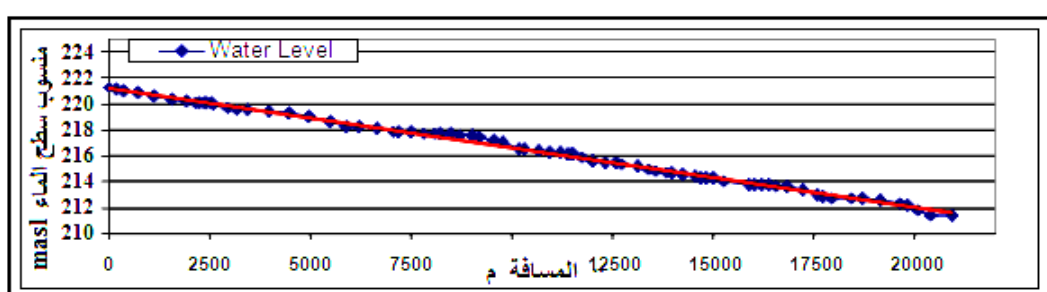
10 : قيم D/T للمقاطع و على طول مجرى النهر

6. انحدار سطح الماء:

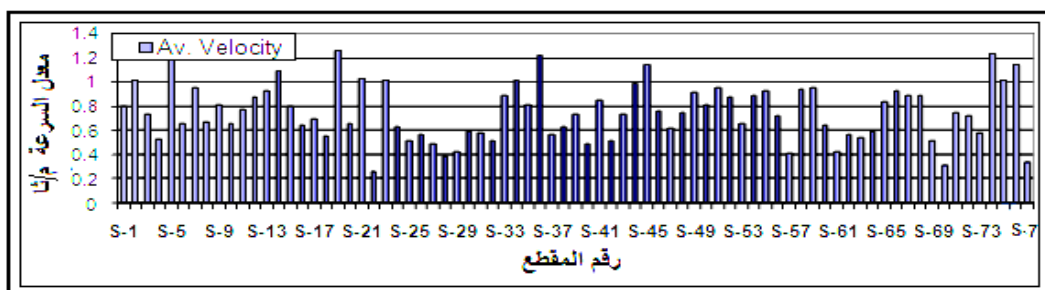
تم رسم البيانات التي جمعت اثناء فترة العمل الحقلية والخاصة بمناسيب سطح الماء في منطقة الدراسة على مجرى النهر وكما موضح في الشكل 11 حيث يلاحظ ان انحدار سطح الماء ضمن منطقة الدراسة منتظم عدا بعض المناطق التي توجد فيها انحناءات وتفرعات لوجود الجزرات وبشكل عام معدل انحدار سطح الماء للنهر ضمن منطقة الدراسة كان بحدود 4.7×10^{-4} .

7. سرعة الجريان:

من بيانات مساحة مقطع الجريان ومن قيمة التصريف المار خلال فترة العمل الحقلية تم حساب قيمة معدل السرعه (Vav.) عند كل مقطع ورسمها على طول مجرى النهر وكما مبين في الشكل 12 حيث تراوحت قيم معدل سرعة النهر اثناء فترة العمل الحقلية عند التصريف 425 / ما بين 0.26 - 1.26 / وايضاً وجد ان اكثراً من منطقة ذات سرعة جريان منتظمة في المنطقة المحصورة ما بين مقدم الجسر الخامس ومؤخر جسر نينوى الجزء المستقيم من النهر ونتيجة لهذه الصفات فأن موقع محطة قياس التصارييف الحالي في مدينة الموصل يعتبر في افضل مقطع من النهر من ناحية انتظام عرض النهر ومساحة الجريان وانتظام السرعه، وهذه الخصائص الجيدة يضمن الدقة في القياسات.



11: مناسب سطح الماء على طول مجرى النهر ضمن منطقة الدر



12 : قيم معدل السرعة للمقاطع وعلى طول مجرى النهر

8. تطبيق النموذج الرياضي (HEC-RAS-4) على مقطع الدراسة:

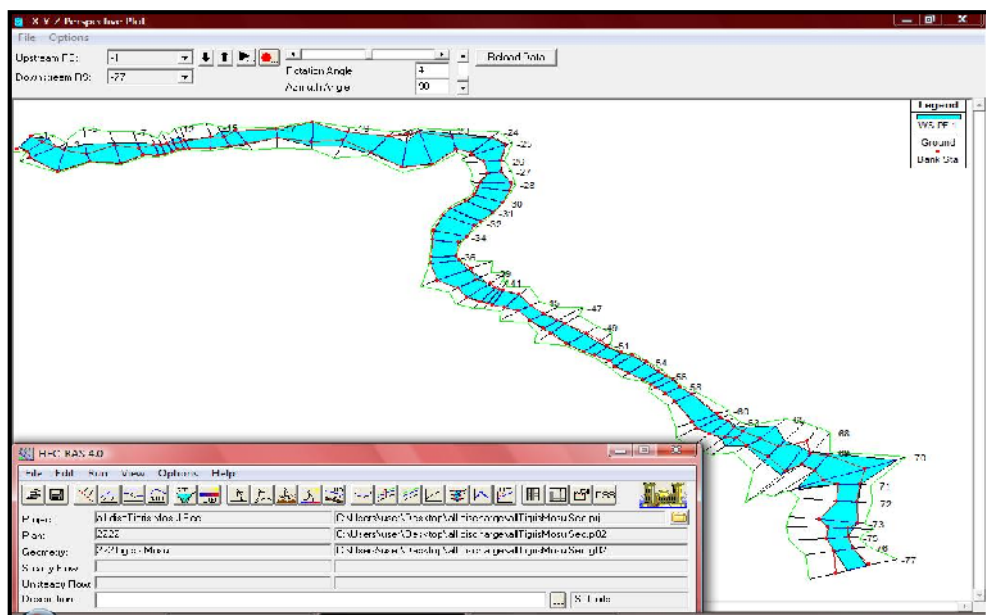
بالنظر لكون البيانات التي تم جمعها حول الخصائص الهيدروليكيّة لنهر كالسرعة، مساحة الجريان، عرض سطح الماء اعمق الجريان، انحدار سطح

60 يوماً وخلال هذه الفترة كانت قيم التصاريف المار بالنهر ثابتة نسبياً (425 /)

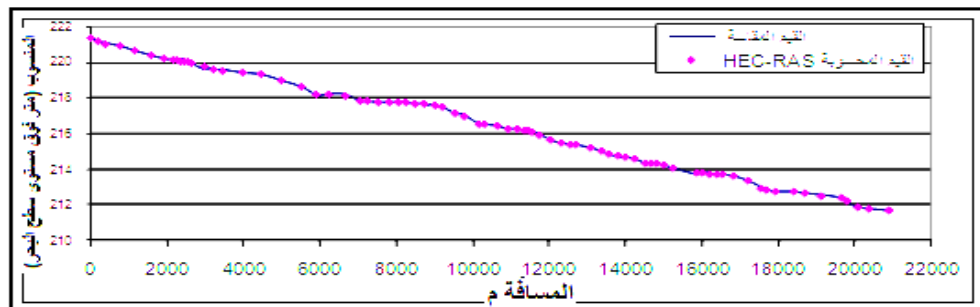
وأجل معرفة الخصائص الهيدروليكيّة المختلفة لنهر وتحت ظروف جريان متعددة تم استخدام الرياضي الاحادي بعد (HEC-RAS) لتطبيقه على مقطع . . . وذج الرياضي(HEC-RAS) برنامج رياضي طور من قبل مركز الهندسة الهيدرولوجية التابع لمهندسي الجيش الامريكي وهو برنامج رياضي احادي بعد يستخدم لحساب هيدروليكيّة القنوات المفتوحة ولحالتي الجريان المستقر وغير المستقر. HEC-RAS برنامج متعدد الخصائص والاختيارات وقد استخدمت في تطبيقات عديدة من قبل مهندسي الهيدروليكي لكتفائه في مشابهة دراسة حقل الجريان لحالات مختلفة في هذا البرنامج يعتمد في حساب شكل سطح الماء على فرضية الجريان المستقر ذات

التغير التدريجي (Steady gradually varied flow) باستخدام طريقة الخطوة المباشرة (Direct) والذي يعتمد على حل معادلة الطاقة للقنوات المفتوحة. ولتفاصيل اكثر حول الاسس الرياضية التي يعتمد عليها البرنامج يمكن الرجوع الى المصادرين (12 13). تم ادخال كافة البيانات لتشغيل البرنامج (إحداثيات المقاطع، الماء بين مقطع وأخر) 13 يوضح المقاطع التي تم ادخالها. تم تشغيل البرنامج في البداية على ضوء قيمة التصريف الذي اجري فيه العمل الحقلي (425 /) من اجل معايرة النموذج لاختيار قيمة لمعامل الخشونة لنهر وملحوظة

تطابقها مع القياسات الحقلية بعد محاولات عده وبالاستفاده من قيم دراسات سابقة (11-10) الاستقرار على اختيار معامل الخشونة $n = 0.038$ لكون النتائج التي تم حسابها حول منسوب سطح الماء كانت قريبة مع القيم المقاسة وكما موضح في الشكل 14 حيث كان مقدار الاختلاف بين القيم المحسوبة والمقاسة ما بين 1-6 سم و ان هذا الاختلاف ولمجرى بطول 21 كم يمكن اعتباره مقبولا.



77 التي تم ادخالها للبرنامج : 13



14: المقارنة بين القيم المقاسة والمحسوبة لمناسيب سطح الماء على طول مجرى النهر

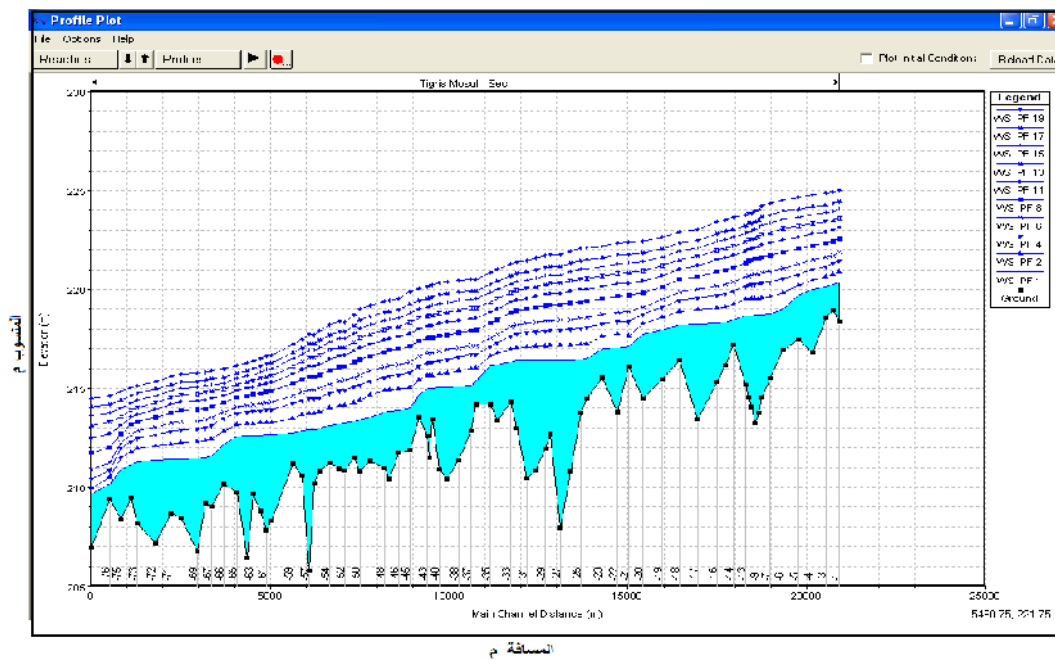
الثقة على ان هذا البرنامج الرياضي قادر على تمثيل الجريان مجرى النهر بشكل جيد. بعد ذلك تم تشغيل النموذج وتحت تصاريف متعددة بهدف التعرف على خصائص النهر وتحت ظروف الجريان المختلفة حيث تم تحديد قيمة التصريف الداخلي الجريان الداخلي مقدم مقطع النهر عند المقطع 1 تحديد منسوب سطح الماء مؤخر الجريان نهاية مقطع النهر (Normal Depth) 77

1 يبين قيم التصاريف المستخدمة في الهيدروليكيه لكل مقطع وعند تصاريف متعددة وكمودج لهذه النتائج لاحظ الجدول 2. الذي يبين بعض المعلومات عديدة حول 15 يوضح مناسيب سطح الماء على طول تحت تصاريف 16 يوضح منسوب الماء عند مختلف التصاريف بالنسبة للمقطع S63 .S49

1: التصاريف المستخدمة في تشغيل النموذج الرياضي HEC-RAS.

| | PF 1 | PF 2 | PF 3 | PF 4 | PF 5 | PF 6 | PF 7 | PF 8 | PF 9 | PF 10 |
|--|------|------|------|------|------|------|------|------|------|-------|
| | | | | | | | | | | |

| | | | | | | | | | | |
|-----------|-------|-------|-------|-------|-------|-------|-------|-------|-------|------|
| التصريف / | 100 | 250 | 300 | 500 | 600 | 750 | 1000 | 1250 | 1400 | 1500 |
| | PF 11 | PF 12 | PF 13 | PF 14 | PF 15 | PF 16 | PF 17 | PF 18 | PF 19 | |
| التصريف / | 1750 | 2000 | 2250 | 2500 | 2750 | 3000 | 3250 | 3500 | 4000 | |



15 : مناسب سطح الماء على طول مجرى النهر عند التصارييف المختلفة.

2 : بعض الخصائص الهيدروليکية المستحصلة من النموذج الرياضي HEC-RAS

Profile Output Table - Standard Table 1

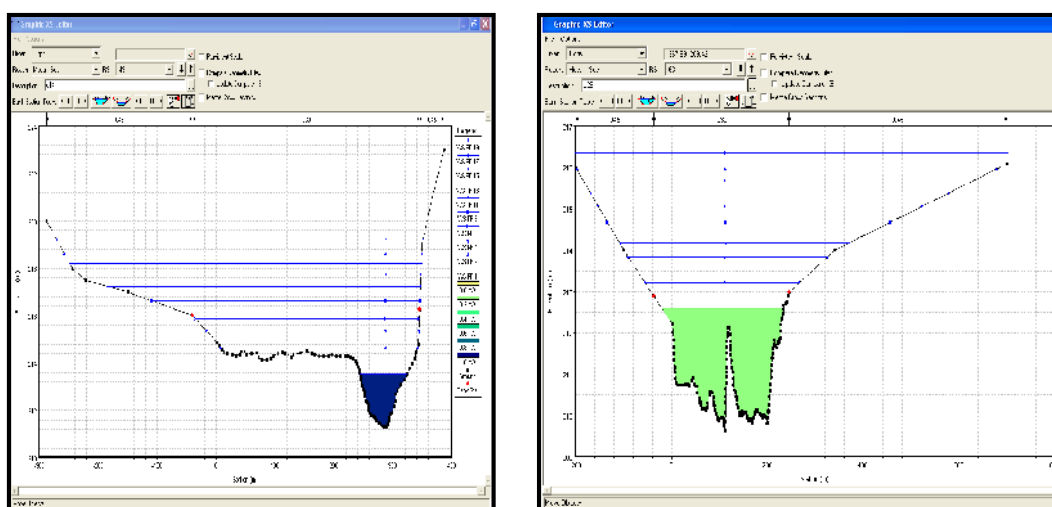
File Options Std. Tables Locations Help

HEC-RAS Plan: 222 River: Tigris Reach: Mosul-Sec

Reload Data

| Reach | River Sta | Profile | Q Total | Min Ch El | W.S. Elev | Cit/W.S. | E.G. Elev | E.G. Slope | Vel Chrl | Flow Area | Top Width | W.P. Total | Hydr Radius | Froude # Chl |
|-----------|-----------|---------|---------|-----------|-----------|----------|-----------|------------|----------|-----------|-----------|------------|-------------|--------------|
| Mosul-Sec | 10 | PF 1 | 100.00 | 213.25 | 218.70 | 218.70 | 0.000020 | 0.24 | 415.75 | 135.7 | 137.26 | 3.03 | 0.04 | |
| Mosul-Sec | 10 | PF 2 | 250.00 | 213.25 | 219.54 | 219.55 | 0.000074 | 0.46 | 538.58 | 173.36 | 175.79 | 3.36 | 0.03 | |
| Mosul-Sec | 10 | PF 4 | 500.00 | 213.25 | 220.27 | 220.30 | 0.000171 | 0.73 | 693.32 | 233.32 | 235.7 | 2.34 | 0.13 | |
| Mosul-Sec | 10 | PF F | 750.00 | 213.25 | 220.72 | 220.81 | 0.000240 | 0.94 | 814.78 | 247.74 | 249.39 | 3.26 | 0.15 | |
| Mosul-Sec | 10 | PF E | 1250.00 | 213.25 | 221.52 | 221.61 | 0.000350 | 1.28 | 1014.59 | 300.13 | 302.18 | 3.36 | 0.23 | |
| Mosul-Sec | 10 | PF 11 | 1750.00 | 213.25 | 222.1 | 222.23 | 0.000438 | 1.56 | 1210.7 | 364.46 | 366.56 | 3.30 | 0.22 | |
| Mosul-Sec | 10 | PF 13 | 2250.00 | 213.25 | 222.60 | 222.75 | 0.000512 | 1.79 | 1400.39 | 416.57 | 418.32 | 3.34 | 0.24 | |
| Mosul-Sec | 10 | PF 15 | 2750.00 | 213.25 | 223.02 | 223.21 | 0.000672 | 1.99 | 1587.36 | 462.56 | 464.36 | 3.42 | 0.25 | |
| Mosul-Sec | 10 | PF 17 | 3250.00 | 213.25 | 223.42 | 223.64 | 0.000816 | 2.16 | 1779.43 | 505.14 | 507.38 | 3.5 | 0.27 | |
| Mosul-Sec | 10 | PF 19 | 4000.00 | 213.25 | 223.37 | 224.23 | 0.000959 | 2.36 | 2074.39 | 562.33 | 565.23 | 3.57 | 0.29 | |
| Mosul-Sec | 11 | PF 1 | 100.00 | 214.36 | 218.65 | 218.70 | 0.000059 | 0.33 | 324.46 | 172.35 | 174.10 | 1.36 | 0.07 | |
| Mosul-Sec | 11 | PF 2 | 250.00 | 214.36 | 219.53 | 219.54 | 0.000124 | 0.55 | 489.36 | 212.2 | 213.77 | 2.29 | 0.11 | |
| Mosul-Sec | 11 | PF 4 | 500.00 | 214.36 | 220.24 | 220.28 | 0.000224 | 0.84 | 660.30 | 255.34 | 257.4 | 2.57 | 0.15 | |
| Mosul-Sec | 11 | PF F | 750.00 | 214.36 | 220.73 | 220.79 | 0.000304 | 1.07 | 789.36 | 270.44 | 272.26 | 2.30 | 0.13 | |
| Mosul-Sec | 11 | PF E | 1250.00 | 214.36 | 221.46 | 221.57 | 0.000437 | 1.45 | 1003.28 | 306.39 | 308.32 | 3.25 | 0.22 | |
| Mosul-Sec | 11 | PF 11 | 1750.00 | 214.36 | 222.06 | 222.19 | 0.000541 | 1.75 | 1189.7 | 395.32 | 397.34 | 3.52 | 0.25 | |
| Mosul-Sec | 11 | PF 13 | 2250.00 | 214.36 | 222.53 | 222.70 | 0.000634 | 2.01 | 1354.10 | 358.23 | 360.35 | 3.76 | 0.27 | |
| Mosul-Sec | 11 | PF 15 | 2750.00 | 214.36 | 223.05 | 223.16 | 0.000715 | 2.24 | 1507.20 | 401.75 | 403.30 | 3.30 | 0.20 | |
| Mosul-Sec | 11 | PF 17 | 3250.00 | 214.36 | 223.33 | 223.58 | 0.000780 | 2.44 | 1658.48 | 407.30 | 409.46 | 4.35 | 0.31 | |
| Mosul-Sec | 11 | PF 19 | 4000.00 | 214.36 | 223.86 | 224.16 | 0.000853 | 2.69 | 1884.3 | 439.03 | 441.22 | 4.27 | 0.33 | |
| Mosul-Sec | 12 | PF 1 | 100.00 | 214.5 | 218.66 | 218.68 | 0.000114 | 0.44 | 227.76 | 135.79 | 136.38 | 1.36 | 0.10 | |
| Mosul-Sec | 12 | PF 2 | 250.00 | 214.5 | 219.50 | 219.52 | 0.000017 | 0.69 | 395.19 | 278.33 | 279.5 | 1.4 | 0.13 | |
| Mosul-Sec | 12 | PF 4 | 500.00 | 214.5 | 220.21 | 220.25 | 0.000087 | 0.93 | 516.43 | 343.42 | 344.34 | 1.79 | 0.13 | |
| Mosul-Sec | 12 | PF F | 750.00 | 214.5 | 220.65 | 220.75 | 0.000442 | 1.12 | 793.32 | 384.36 | 385.32 | 2.36 | 0.21 | |
| Mosul-Sec | 12 | PF E | 1250.00 | 214.5 | 221.44 | 221.52 | 0.000513 | 1.40 | 1011.72 | 446.15 | 447.46 | 2.46 | 0.23 | |
| Mosul-Sec | 12 | PF 11 | 1750.00 | 214.5 | 222.07 | 222.13 | 0.000661 | 1.61 | 1176.33 | 495.33 | 496.58 | 2.77 | 0.25 | |
| Mosul-Sec | 12 | PF 13 | 2250.00 | 214.5 | 222.50 | 222.63 | 0.000602 | 1.79 | 1241.17 | 536.32 | 538.20 | 3.32 | 0.25 | |
| Mosul-Sec | 12 | PF 15 | 2750.00 | 214.5 | 223.92 | 223.07 | 0.000633 | 1.94 | 1593.38 | 572.57 | 574.14 | 3.24 | 0.27 | |
| Mosul-Sec | 12 | PF 17 | 3250.00 | 214.5 | 223.32 | 223.48 | 0.000634 | 2.04 | 1988.52 | 578.4 | 580.50 | 3.50 | 0.27 | |
| Mosul-Sec | 12 | PF 19 | 4000.00 | 214.5 | 223.87 | 224.09 | 0.000627 | 2.16 | 2408.34 | 578.4 | 581.7 | 4.14 | 0.29 | |
| Mosul-Sec | 13 | PF 1 | 100.00 | 215.22 | 218.67 | 218.68 | 0.000145 | 0.46 | 216.35 | 118.25 | 118.7 | 1.33 | 0.11 | |
| Mosul-Sec | 13 | PF 2 | 250.00 | 215.22 | 219.47 | 219.50 | 0.000342 | 0.71 | 355.76 | 200.36 | 200.5 | 1.77 | 0.17 | |
| Mosul-Sec | 13 | PF 4 | 500.00 | 215.22 | 220.7 | 220.22 | 0.000472 | 1.01 | 498.29 | 212.55 | 213.20 | 2.34 | 0.21 | |

Click here to begin



16: يوضح منسوب الماء عند مختلف التصارييف بالنسبة للمقطع 49 63

النتائج التي تم الحصول عليها من النموذج الرياضي تم استخدامها ايجاد علاقات وضعية تربط بين المتغيرات) مساحة الجريان معدل السرعة ، والتصريف مع

S27 S13 مهمة كالمقطع (S) الواقع ضمن جزء النهر المنحني والمقطع S30 الواقع ضمن الجزء المتفرع للنهر عند الجزيرة السياحية،

S60 الواقع في الجزء المستقيم للنهر واخيرا المقطع S37 وذلك لاجل اعطاء تصور عن الخصائص المختلفة عند هذه المقاطع حال معرفة منسوب سطح الماء .

:

S13

$$D = 2578.22 - 24.19 S + 0.056 S^2 \quad (1) \quad R^2 = 0.99$$

$$T = -510754.17 + 4505.46 S - 9.92 S^2 \quad (2) \quad R^2 = 0.96$$

$$A = 3028444.33 - 27770.33 S + 63.66 S^2 \quad (3) \quad R^2 = 0.99$$

$$V = -1712.66 + 15.091 S - 0.03 S^2 \quad (4) \quad R^2 = 0.99$$

$$Q = 6547168.8 - 59947.6 S + 137.2 S^2 \quad (5) \quad R^2 = 0.99$$

الواقع ضمن جزء النهر المنحني: S27

$$D = 3068.11 - 28.83 S + 0.06 S^2 \quad (6) \quad R^2 = 0.99$$

$$T = 512721.93 - 4769.19 S + 11.09 S^2 \quad (7) \quad R^2 = 0.93$$

$$A = 2401620.218 - 22232.14 S + 51.46 S^2 \quad (8) \quad R^2 = 0.99$$

$$V = 595.87 - 5.82 S + 0.014 S^2 \quad (9) \quad R^2 = 0.99$$

$$Q = 5959918.4 - 55131.2S + 127.5 S^2 \quad (10) \quad R^2 = 0.99$$

الواقع ضمن الجزء المتفرع للنهر: S30

$$D = 6751.25 - 62.28 S + 0.143 S^2 \quad (11) \quad R^2 = 0.99$$

$$T = -899562.26 + 8160.52 S - 18.49 S^2 \quad (12) \quad R^2 = 0.99$$

$$A = 1275240.02 - 12057.39 S + 28.49 S^2 \quad (13) \quad R^2 = 0.99$$

$$V = -35.89 + 0.064 S + 0.014 S^2 \quad (14) \quad R^2 = 0.99$$

$$Q = 6241128.9 - 57749.6 S + 133.6 S^2 \quad (15) \quad R^2 = 0.97$$

الواقع في الجزء المستقيم للنهر: S37

$$D = 1240.57 - 12.31 S + 0.03 S^2 \quad (16) \quad R^2 = 0.99$$

$$T = -552341.44 + 5055.70 S - 11.55 S^2 \quad (17) \quad R^2 = 0.86$$

$$A = 178647.41 - 2058.24 S + 5.71 S^2 \quad (18) \quad R^2 = 0.99$$

$$V = 697.48 - 6.64 S + 0.015 S^2 \quad (19) \quad R^2 = 0.99$$

$$Q = 5629350.4 - 52407.3 S + 121.9 S^2 \quad (20) \quad R^2 = 0.92$$

: S60

$$D = 5932.51 - 56.04 S + 0.13 S^2 \quad (21) \quad R^2 = 0.99$$

$$T = -243092.39 + 2167.62 S - 4.81 S^2 \quad (22) \quad R^2 = 0.98$$

$$A = 2157139.18 - 20548.29 S + 48.93 S^2 \quad (23) \quad R^2 = 0.99$$

$$V = 1559.87 - 14.95 S + 0.035 S^2 \quad (24) \quad R^2 = 0.99$$

$$Q = 11121686.1 - 104559.8 S + 245.7 S^2 \quad (25) \quad R^2 = 0.96$$

الاستنتاجات:

نتيجة لمورفولوجية النهر المتعددة فإن خصائصها الهيدروليكيه كانت مختلفة من مقطع الى اخر وان اكثر المناطق التي كانت فيها خصائص النهر ثابتة ومنتظمة كانت ضمن الجزء المستقيم الواقع في مركز المدينة. تراوحت قيم الخصائص الهيدروليكيه لمجرى النهر عند التصريف 425 / مساحة الجريان ما بين 1800-347 1600-1 معرض سطح الماء ما بين 208-1800 المحيط المبتدل ما بين 821-158 م معدل عمق الجريان ما بين 4.19-0.64 نصف القطر الهيدروليكي ما بين 3.97-0.64 السرعة ما بين 1.26-0.26 / واخيرا قيم (T/D) ما بين 1525-50

$4.7 * 10^{-4}$. تطبيق النموذج الرياضي اعطى تطابق جيد مع القيم المقاسة وان النموذج الرياضي اعطى تصور عن خصائص النهر و ظروف جريان متعددة. البيانات التي تم الحصول عليها من البرنامج الرياضي استخدمت في ايجاد علاقات وضعية تربط بين خصائص مجرى النهر المختلفة مع

ان هذه المعادلات بنيت من النتائج المستحصلة من النموذج الرياضي وذلك لعدم توفر تصارييف مختلفة ومتعددة في النهر لذا يتطلب اجراء قياسات حقلية وعند فترات زمنية مختلفة حال توفر تصارييف عالية ومتعددة للتأكد من درجة دقة هذه المعادلات.

المصادر :

1. Dong Wang, Shaoming Pan, Jichun Wu, Qingping Zhu and Chang Liu, "Hydrologic and hydraulic characteristics of the Yellow River and impact of flow and sediment diversion", Chinese J. of Geochemistry, Vol.25 (suppl.), (2006)
2. Stewardson, Michael, "Hydraulic geometry of stream reaches", Journal of Hydrology, Vol.306, Issue 1-4, pp.97-111, (2005).
3. O.Orfeo and J.Steiaux, "Hydraulic and morphological characteristics of middle and upper reaches of the Parana River (Argentina and Brazil)", Geomorphology, Vol.44, Issues 3-4, May 2002, pp.309-322, (2001).
4. Lai Sai Hin, Nabil Bessaih, Law Puong, Aminuddin Ab.Ghani, Nor Azazi Zakaria and Mah Yau Seng, "A study of hydraulic characteristics for flow in equatorial rivers", Int. J. River Basin Management, Vol.6, No.3, IAHS, pp.213-223, (2008).
5. Bala Sujit Kumar, M. Mozzammel Hoque, Ahmed Syed Mohib Uddin and M. Anisul Haque, "Hydraulic characteristics of the Upper Meghna river at the vicinity of the Meghna Bridge", Advances in Hydraulics and Water Engineering, Vol.I and II, pp. 135-139, (1998).
6. Ioannis A. Papadimitrakis and Ioannis Orphanos, "Statistical analysis of river characteristics in Greece, basic hydraulic parameters", Hydrological Sciences Journal, Vol. 54, Issue 6, December, pp. 1035-1052, (2009).
7. Hamza K.G., "Hydraulic geometry relation of Tigris river" ,M.Sc. Thesis ,Water resources Dep., College of engineering, Mosul University,Mosul ,Iraq, (1978).
8. Najib Y.E., "Characteristics of Tigris River at Mosul city", M.Sc. Thesis ,Water resources Dep., College of engineering, Mosul University ,Mosul ,Iraq, (1980).
9. Moshib A.K., Characteristics study of Tigris river from Fatha to Tikrit City , M.Sc. Thesis ,Water resources Dep., College of engineering, Mosul University ,Mosul ,Iraq, (1986).
- 10.Hayawi G.A.M., "Hydraulic model to study and train Ninevah bridge and Al-Horriya bridge at Mosul city", M.Sc. Thesis ,Water resources Dep., College of Engineering, Mosul University , Mosul ,Iraq, (1988).
- 11.Othman. K. I., Kassim . I. J , The Morphologic and Hydraulic Characteristics of Tigris River after Mosul Dam Operation, Published in Third Conference of Dams and Water Resources Research Center Nov. Mosul University .Iraq, (1994).

- 12.Gray W. Burnners, HEC- RAS Rivers Analysis System User Manual, US Army Crops of Engineers, Hydrologic Engineering Center Crop, (2008).
- 13.Haestad Methods Gary Dyhouse , Jennifer Hatchett , Jeremy Benn, Floodplain Modeling Using HEC-RAS, Haestad Press Waterbury, CTUSA, (2003).

— مركز بحوث السدود و الموارد المائية —